

# Model i charakterystyki muskułów pneumatycznych

Ryszard Dindorf

Działanie muskułów pneumatycznych przyrównuje się do naturalnych mięśni, dlatego znajdują one zastosowanie w robotach mobilnych, antropomorficznych i humano-idealnych oraz protezach kończyn.

**M**uskuł pneumatyczny jest zbudowany z odkształcalnej membrany wykonanej z gumi, lateksu lub silikonu, oplecionej siatką elastyczną i rozciągliwą w kierunku promieniowym. Siatka przymocowana na końcach muskułu tworzy rodzaj sztucznych ścięgien. Po napełnieniu sprężonym powietrzem muskuł o dużej sztywności wzdużnej odkształca się promieniowo (peczętnie) i się skraca. Powstałe w muskule naprężenia odpowiadają zewnętrznemu obciążeniu osiowemu. Początkowa duża siła maleje do zera po osiągnięciu maksymalnego stopnia skrócenia. Poprzez zmiany ciśnienia można zmieniać skrócenie muskułu oraz wartość siły ciągnącej muskułu. Siła ciągnąca muskułu pneumatycznego w odniesieniu do jego przekroju poprzecznego jest dużo większa od siły muskułu biologicznego.

Muskuły pneumatyczne generują dużą siłę osiową w stosunku do ich masy i przekroju poprzecznego, wykonują płynne ruchy, odkształcają się w kierunku promieniowym, nie występuje w nich zjawisko *stick-slip* oraz wykazują naturalne właściwości tłumienia ruchu. W muskułach tych nie trzeba przestrzegać pasowania, gładkości powierzchni i stosować uszczelniania jak w silownikach tłokowych.

## Muskuł pneumatyczny MAS

Firma FESTO wytwarza muskuły pneumatyczne (*Fluidic Muscle*) typu MAS o trzech średnicach: 10, 20 i 40 mm [6]. Firma oferuje program MuscleSim do doboru i obliczania muskułu pneumatycznego MAS. Za pomocą tego programu można dobrą średnicę i długość początkową, następnie obliczyć stopień skrócenia i wartość siły ciągnącej muskułu. Charakterystyka siły ograniczona jest dopuszczalnym 20-procentowym skróceniem muskułu.

## Sztuczny muskuł pneumatyczny McKibben

Sztuczny muskuł AM (*Artificial Muscle*) McKibben powstał w 1950 roku, jest on najlepszym ze znanych muskułów pneumatycznych [1]. Muskuł McKibben jest pneumatycznym elementem wykonawczym wykona-

Dr hab. inż. Ryszard Dindorf – Zakład Mechatroniki, Politechnika Świętokrzyska

nym z nadmuchiwanej gumowego pęcherza usztywnionego splecioną siatką z włókna nylonowego o dużej sztywności wzdużnej. Sztuczne muskuły pneumatyczne McKibben mają właściwości podobne do biologicznych mięśni szkieletowych, dlatego są wykorzystane w budowie biorobotów przez firmy Bridgestone Rubber Company (Japonia) oraz Shadow Robot Group (Anglia).

## Muskuł pneumatyczny PLAM

Sztuczny muskuł pneumatyczny PLAM (*Plated Pneumatic Artificial Muscle*) jest zbudowany z elastycznej membrany w charakterystyczne promieniowe zagięcia, odkształcalnej w kierunku promieniowym i kurczącej się w kierunku osiowym. Membrana muskułu PLAM przekonuje naprężenia wzdużne umożliwiające generowanie dużej nieliniowej siły ciągnącej [4]. PLAM ma duży stosunek mocy do swojej masy oraz naturalną podatność przystosowaną do robotów antropomorficznych i dwunożnych robotów humanoidalnych. Napędy z muskułami PLAM są stosowane w robotach o masie do 30 kg i wysokości do 150 cm.

## Muskuł pneumatyczny obrotowy RPM

Nowością jest muskuł pneumatyczny obrotowy RPM (*Rotary Pneumatic Muscle*) [5] zbudowany z dwóch metalowych cylindrycznych elementów połączonych z podstawą. Elementy cylindryczne są połączone gumowym pęcherzem, który opala siatkę nylonową. Po napełnieniu gumowego pęcherza powietrzem pod ciśnieniem powstają odkształcenia kątowe splotu nylonowego siatki, które powodują skrócenie elementów cylindrycznych i zmianę orientacji osiowej muskułu. Rezultatem ruchu obrotowego elementów cylindrycznych jest osiowe odkształcenie muskułu i zmiana siły ciągnącej.

## Zastosowanie muskułów pneumatycznych

Właściwości muskułu pneumatycznego sprawiają, że jest on idealnym elementem napędowym w automatyzacji produkcji, robotach mobilnych, antropomorficznych i humanoidalnych oraz protezach kończyn gó-

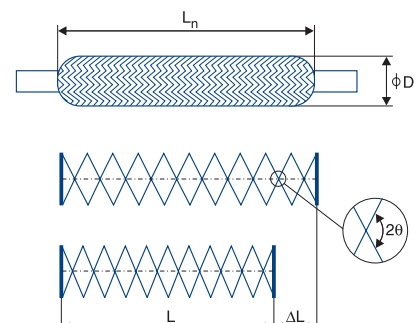
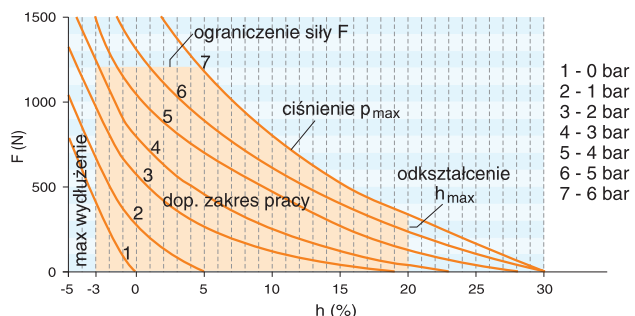
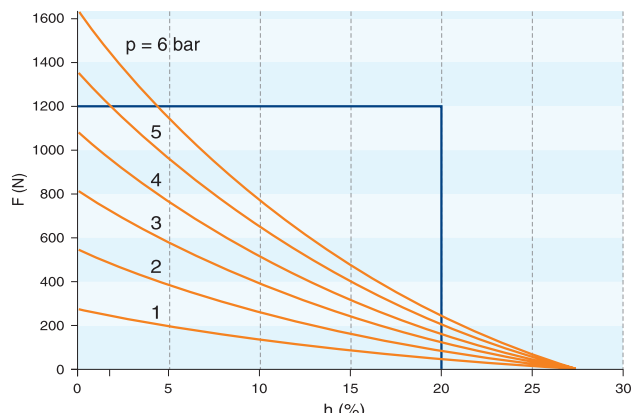
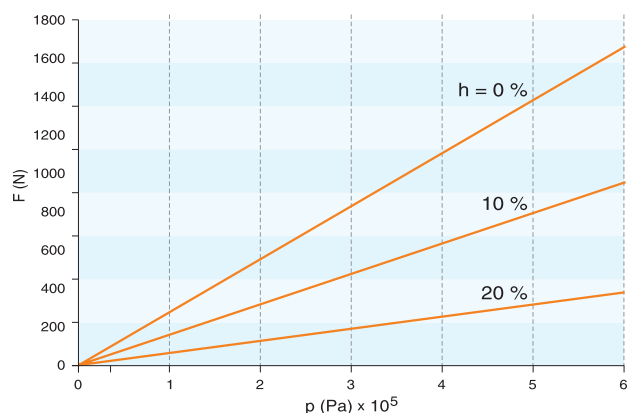
**Tabela 1.** Zestawienie parametrów muskułów pneumatycznych [7]

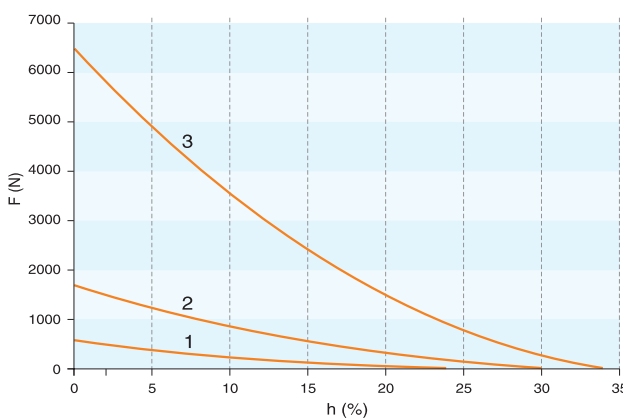
Parametry	Typ muskułu pneumatycznego		
	MAS-10	MAS-20	MAS-40
Średnica wewnętrzna D (mm)	10	20	40
Maksymalne dopuszczalne ciśnienie p (bar)	8	6	6
Maksymalny stopień skrócenia $h_{\max}$ (%)	20	20	25
Maksymalna siła $F_{\max}$ (N) dla $p = 6$ bar	400	1200	4000
Maksymalne obciążenie bezciśnieniowe G (kg)	30	60	120
Częstotliwość pracy f (Hz)	3	3	2
Dopuszczalne prędkości $v_{\min} - v_{\max}$ (m/s)	0,05–1,5	0,05–2	0,05–2
Maksymalna histereza	< 5 %		
Dopuszczalna temperatura	+5 °C ... +60 °C		
Maksymalne wydłużenie	< 5 % w temp. otoczenia		

nych i dolnych. W robotach i manipulatorach spotyka się system BMDS (*Bi-Muscular Driving System*) – napęd złożony z dwóch przeciwnie działających mięśni, porównywalny do pracy mięśni biologicznych [2]. Muskuły pneumatyczne jako elementy wykonawcze mogą być stosowane również w manipulatorach i robotach o strukturze równoległej oraz w urządzeniach do automatyzacji produkcji, w których jest wymagana duża dynamika ruchu przy małym skoku [6]. Niekonwencjonalne projekty Axelera Thallemera zastosowania muskułów pneumatycznych (*Fluidic Muscle*) firmy FESTO przedstawiono w serii Moderne Klassiker [8], projekty te dotyczą m.in. maszyny powietrznej, elementów przestrzennych konstrukcji architektonicznych, napędu pojazdu miejskiego, amortyzatorów skateboardu. Niektóre z tych projektów zostały już zrealizowane, np. lekki pojazd napędzany trzema muskułami pneumatycznymi [8].

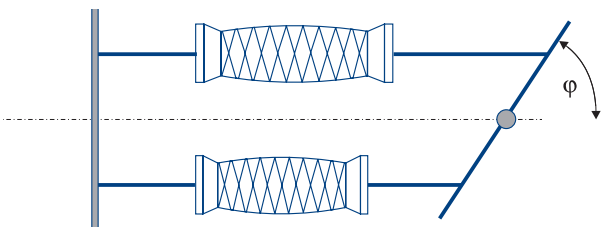
## Charakterystyki statyczne muskułów pneumatycznych typu MAS

Model i charakterystyki statyczne muskułów pneumatycznych MAS zostaną wyznaczone na podstawie związków geometrycznych przedstawionych na rys. 1. Firma FESTO zachęca przy doborze i obliczaniu parametrów muskułu pneumatycznego MAS do korzystania z diagramów lub programu komputerowego MuscleSIM. Na osi pionowej diagramu oznacza się siłę  $F$  (N), a na osi poziomej stopień skrócenia  $h$  (%) muskułu pneumatycznego (rys. 2). Diagram przedstawia charakterystyki statyczne otrzymane dla różnych ciśnień  $p$  (0–6 bar). Charakterystyki te zostały ograniczone obszarami wyznaczonymi przez: maksymalną dopuszczalną siłę ciągnącą  $F_{\max}$  muskułu, maksymalne skrócenie  $h$  muskułu, maksymalną dopuszczalną wartość ciśnienia  $p_{\max}$  wewnętrz muskułu, maksymalne dopuszczalne wydłużenie muskułu. Tak ograniczone pole diagramu wskazuje zalecany obszar doboru parametrów muskułu pneumatycznego typu MAS. Podstawowe parametry takich muskułów pneumatycznych zestawiono dodatkowo w tabeli 1.

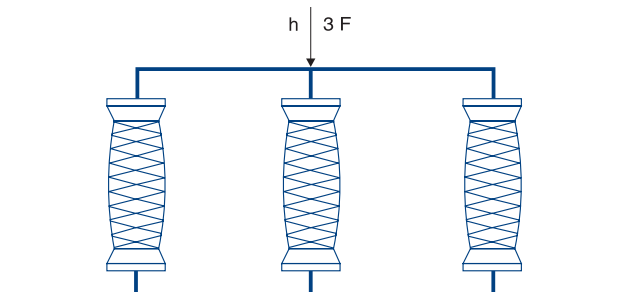
**Rys. 1.** Schemat obliczeniowy muskułu pneumatycznego**Rys. 2.** Przykładowy diagram doboru parametrów muskułu pneumatycznego [7]**Rys. 3.** Charakterystyki statyczne siły  $F(h)$  muskułu MAS-20**Rys. 4.** Charakterystyki statyczne siły  $F(p)$  muskułu MAS-20



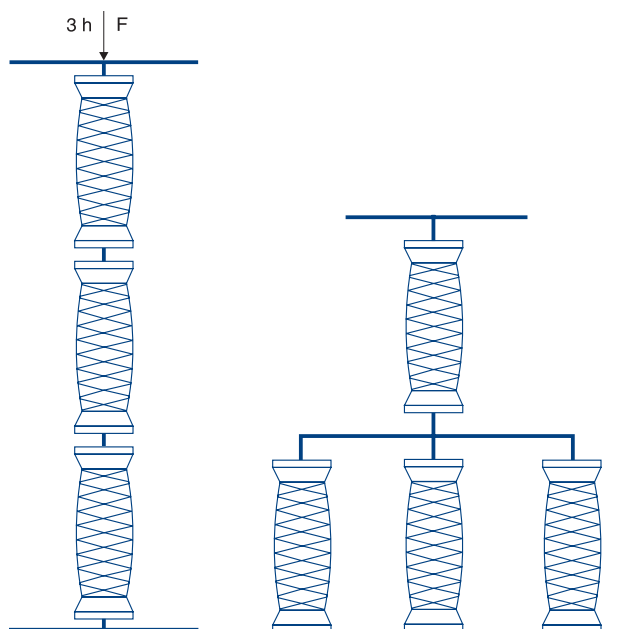
Rys. 5. Porównanie charakterystyk statycznych  $F(h)$  muskułów:  
1 - MAS-10, 2 - MAS-20, 3 - MAS-40 dla  $p = 0,6 \text{ MPa}$



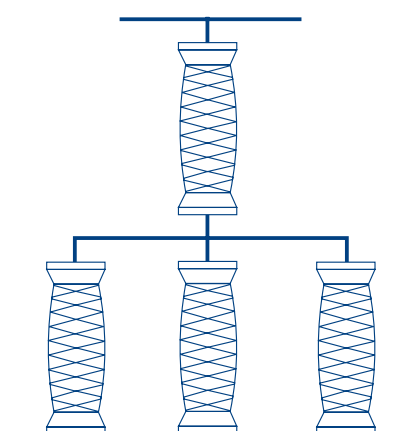
Rys. 6. Przeciwstawne połączenie muskułów pneumatycznych



Rys. 7. Równoległa struktura połączenia muskułów pneumatycznych



Rys. 8. Szeregowa struktura połączenia muskułów pneumatycznych



Rys. 9. Szeregowo-równoległa struktura połączenia muskułów pneumatycznych

Do obliczania siły  $F$  muskułów typu MAS wykorzystano ogólną zależność dla muskułów McKibben wyznaczoną w [4, 5], przedstawioną następnie w postaci ogólniej:

$$F = p D^2 \left[ \alpha (1-h)^n - \beta \right] \quad (1)$$

gdzie:  $D$  – wewnętrzna średnica muskułu,  $p$  – ciśnienie wewnętrzne muskułu,  $n$  – wykładnik potęgowy, najlepszego dopasowania charakterystyki,  $a$ ,  $b$  – stałe muskułu,

$$\alpha = \frac{3}{4} \pi \operatorname{ctan}^2 \theta \quad (2)$$

$$\beta = \frac{\pi}{4 \sin^2 \theta} \quad (3)$$

$\theta$  – kąt splotu,

Ponieważ trudno jest dokładnie oszacować wartość kąta splotu  $\theta$  muskułu MAS, dlatego stałe muskułu  $a$  i  $b$  występujące we wzorze (1) będą określane bądź na podstawie obliczeń przy użyciu programu komputerowego MuscleSim bądź na podstawie badań doświadczalnych z uwzględnieniem warunków:

$$\begin{cases} F = F_{\max} \text{ dla } h = 0 \\ F = 0 \text{ dla } h = h_{\max} \end{cases} \quad (4)$$

korzystając przy tym ze wzoru na stopień skrócenia muskułu:

$$h = \frac{L_n - L}{L_n} \quad (5)$$

oraz wzoru na długość muskułu przy maksymalnym jego skróceniu:

$$L_0 = L_n (1 - h_{\max}) \quad (6)$$

gdzie:  $h$  – stopień skrócenia muskułu,  $L$  – długość muskułu,  $h_{\max}$  – maksymalny stopień skrócenia muskułu,  $L_n$  – nominalna długość muskułu,  $L_0$  – długość muskułu przy maksymalnym skróceniu.

Na podstawie wzoru (1) i wyników obliczeń stałych muskułu  $a$  i  $b$  za pomocą programu MuscleSim, wyznaczono charakterystyki statyczne muskułu typu MAS-20 o długości nominalnej  $L_n = 0,40 \text{ mm}$ : charakterystyki statyczne  $F(h)$  dla różnych wartości ciśnienia  $p$  (rys. 3) i charakterystyki statyczne  $F(p)$  dla różnych wartości stopnia skrócenia  $h$  (rys. 4). Natomiast na rys. 5 porównano charakterystyki statyczne  $F(h)$  muskułów typu MAS-10, MAS-20 i MAS-40 przy ciśnieniu  $p = 6 \text{ bar}$  i długości nominalnej  $L_n = 0,40 \text{ mm}$ .

Wykorzystanie muskułów pneumatycznych w urządzeniach automatyzacji produkcji, robotach i protezach wymaga ichłączenia w różne struktury kinematyczne: przeciwwstawnie, szeregowe, równolegle i szeregowo-równolegle. Strukturę przeciwwstawną tworzą dwa muskuły agonistyczny (współdziałający) i antagonistyczny (odciągający). Na rys. 6 przedstawiono przeciwwstawną



**metronic**  
INSTRUMENTS

system dwumięśniowy z dźwignią, który tworzy węzeł kinematyczny bio-roboata, biochwytaka, protezy nogi lub ręki. Kąt obrotu takiego wezła kinematycznego zależy od stosunku ciśnień panujących w obu muskułach. Ze względu na ograniczony stopień skrócenia muskułu pneumatycznego uzyskuje się w takim systemie kąt obrotu  $j = \pm 30^\circ$ . Poprzez równoległe lub szeregowe połączenie muskułów pneumatycznych można zwielokrotnić siłę lub przemieszczenie (skok) systemu napędowego. Na rys. 7 przedstawiono równoległe połączenie trzech muskułów tego samego typu o jednakowej długości nominalnej, co daje zwielokrotnienie sily  $F_w = 3 F$  przy stopniu skrócenia  $h$ . Natomiast na rys. 8 przedstawiono szeregowe połączenie trzech muskułów tego samego typu o jednakowej długości nominalnej, co daje zwielokrotnienie stopnia skrócenia  $h_w = 3 h$  przy sile  $F$ . Zwielokrotnienie sily i stopnia skrócenia systemu napędowego z muskułami pneumatycznymi umożliwia struktura szeregowo-równoległa przedstawiona na rys. 9.

## Podsumowanie

Muskuły pneumatyczne są elementami napędowymi, które można scharakteryzować jako: lekkie, elastyczne, mocne i tanie. Dzięki swoim charakterystycznym właściwościom muskuły znalazły zastosowanie jako elementy napędowe w urządzeniach automatyzacji, a także jako sztuczne muskuły w robotach humanoidalnych i antropomorficznych oraz protezach kończyn. Analiza statyczna umożliwiła wyznaczenie charakterystyk statycznych siły ciągnącej  $F$  muskułu typu MAS w funkcji długości ( $L$ ), stopnia skrócenia ( $h$ ) i ciśnienia ( $p$ ). Przedstawiony wzór (1) przydatny jest do doboru stopnia skrócenia muskułu oraz określenia charakterystyk statycznych siły ciągnącej muskułu po wcześniejszym określaniu na podstawie programu MuscleSim stałych muskułu a i b. Przedstawiona analityczno-obliczeniowa metoda określania charakterystyk statycznych muskułów pneumatycznych jest podyktowana tym, że właściwości materiałowe muskułów są zastrzeżone i niepublikowane przez ich producentów. Przedstawiona metoda może być wykorzystana do wyznaczenia charakterystyk statycznych wypadkowych układu napędowego z muskułami pneumatycznymi o różnej strukturze kinematycznej, a także do analizy dynamicznej i syntezy układu napędowego z muskułami pneumatycznymi.

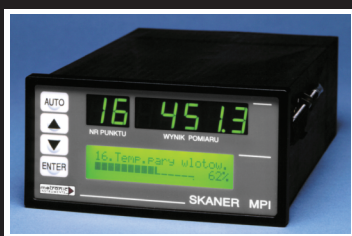
REKLAMA

## Bibliografia

- Chou C-P. Hannaford B.: Measurement and Modeling of McKibben Pneumatic Artificial Muscles. University of Washington, Washington (USA) 2002.
- Dindorf R.: Static and dynamic models of pneumatic muscle actuator. Proc. The 18th International Conference on Hydraulics and Pneumatics, Prague, (Czech Republic) September 30 – October 1, 2003.
- Dindorf R.: Muskuł pneumatyczny jako element napędowy. Napędy i Sterowanie 7–8/2003.
- Verrelst B., Van Ham R.: Design of a Biped Actuated by Pleated Pneumatic Artificial Muscles. Vrije University Brussels, Department of Mechanical Engineering, Brussels (Belgium) 2002.
- Yee N., Coghill G. 2002. Modelling of a novel rotary pneumatic muscle. Proc. Australian Conference on Robotics and Automation. 27–29 November, Auckland (Australia).
- Katalog FESTO. Muscle for automation. Info 501, 2003.
- Dale-Hampstead A.: Der Pneumatische Muskel von Axel Thallemer. Verlag form GmbH, Frankfurt am Main 2001.
- Schwarz S.: Entwicklung eines Zukunftsantriebs auf der Basis Fluidic Muscle zum Einsatz in Leichtfahrzeugen. Diplomarbeit FHTW, Esslingen 2000.

## APARATURA POMIAROWA Z REJESTRACJĄ WYNIKÓW

**MPI-16**



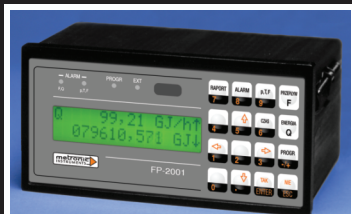
16-kanałowy skaner do pomiaru temperatury i innych wielkości fizycznych

**FP-2001**



Przeliczniki do pomiaru energii pary, wody oraz przepływu gazów

**FP-2001D**



5-kanałowy monitor przepływu z funkcjami matematycznymi i dozowaniem

**FP-210**



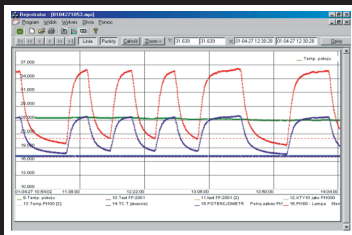
Monitor przepływu

**IM-8**



8-kanałowy moduł wejść analogowych (RTD, TC, 0/4-20 mA, 0/2-10 V)

**R 30**



Program do wizualizacji wyników pomiarów

**METRONIC INSTRUMENTS**

31-261 Kraków, ul. Wybickiego 7  
tel./fax (012) 632-32-82, tel. 632-89-06  
www.metronic.com.pl, e-mail: biuro@metronic.com.pl